

# کنترل و بازیافت گاز از محل های دفن مواد زائد جامد شهری

دکتر محمدعلی عبدالی

استاد دانشکده محیط زیست دانشگاه تهران

دکتر محمدعلی عبدالی

## چکیده

تجزیه مواد زائد و تولید گاز یکی از مسائل اساسی محل های دفن می باشد. مواد زائد در محل های دفن تحت تأثیر میکروارگانیسم های موجود در خاک و مواد مغذی خود در شرایط بی هوایی به کندی تجزیه می شوند. در اثر تجزیه و رشد میکروارگانیسم ها محصولات نهایی حاصل از چندین بار تجزیه این مواد شامل گاز و هوموس می باشد. قسمت عمده گازهای تولیدی محل های دفن دی اکسید کربن و متان می باشد که در صورت عدم کنترل می تواند مشکل آفرین شود. ایجاد گذرگاههای طبیعی و مصنوعی و کنترل حرکت گاز از طریق ایجاد لایه های گل رس و یا پوشش های مصنوعی روشهایی هستند که برای حل این مشکل انجام می شود. مدل سازی و پیش بینی نرخ تولید و انتشار گاز از محل های دفن جهت طراحی و بهره برداری این محل ها دارای اهمیت بسزایی می باشد. نرخ تولید گاز به آزادی هر تن ماده زائد جامد شهری در محدوده گسترده ای بین  $120 \text{ تا } 300 \text{ مترمکعب}$  می باشد. تجارت عملی یانگر این است که گازهای تولیدی محل های دفن می تواند به صورت موقعي با سایر منابع انرژی جایگزین شوند. بر طبق آخرین تحقیقات هر مترمکعب از گازهای تولیدی محل های دفن قادر به تولید  $5/9 \text{ کیلووات ساعت انرژی}$  است. این مقدار معادل  $\frac{3}{4}$  انرژی هویاقتنی از یک مترمکعب گاز طبیعی است. گازهای تولیدی محل های دفن می توانند جهت استفاده در صنعت، تأمین انرژی توربین های گازی و موتورهای تولید برق مورد استفاده قرار گیرد. پتانسیل تولید متان در این محل در سال  $1396$  به  $10^8 \text{ مترمکعب} / 551 \times 3$  میلیارد رسید.

واژه های کلیدی: محل دفن بهداشتی، مواد زائد جامد شهری، نرخ تولید گاز، انرژی، انتقال گاز، مدل سازی، گازهای گلخانه ای

## ۱- مقدمه

تلنبار کردن مواد زائد را به حداقل برساند.

دفن بهداشتی یک گام مثبت در زمینه اجرای تجزیه مواد زائد جامد و تولید گاز در محل های

دفن یکی از مسائل اساسی این مکان ها مدیریت مواد زائد جامد شهری است و می تواند

خطرات بهداشتی و ریست محیطی ناشی از می باشد. اساساً مواد زائد جامد از

آنرا علیم مانند می باشند و می توانند نوادره های

محل‌های دفن به وفور یافت می‌شود. مواد زائد تحت تأثیر میکروارگانیسم‌های موجود در خاک و در شرایط بی‌هوایی به کندی تجزیه می‌شوند. بعد از چندین بار تجزیه مواد زائد در اثر تغذیه و رشد میکروارگانیسم‌ها و آنزیمهای آنها محصولات نهایی تولیدی گاز و هوموس می‌باشد. عمدۀ گازهای تولیدی محل‌های دفن، دی اکسیدکربن و متان هستند که در صورت عدم کنترل می‌توانند مشکل آفرین شوند. ایجاد کنترل‌گاه‌های طبیعی و مصنوعی و کنترل حرکت گاز از طریق ایجاد لایه‌های گل رس و یا پوشش‌های مصنوعی، روش‌هایی هستند که برای حل این مشکل انجام می‌گیرند. کنترل و بهره‌برداری از گازهای تولیدی محل‌های دفن با ایجاد محل‌های دفن بزرگ در اوایل دهه ۱۹۷۰ در آمریکا شروع شد. در ۱۵ تا ۳۰ سال گذشته حدود ۳۰۰ ایستگاه بهره‌برداری از گاز در سراسر دنیا به بهره‌برداری رسیده است. در واقع سیستم‌های کنترل و بازیافت گاز از محل‌های دفن یک تکنولوژی است که علاوه بر بازیافت انرژی می‌تواند مشکل زیست محیطی انتشار گاز را مرتفع کند.

**۲- فرآیندهای تولید گاز در محل‌های دفن**

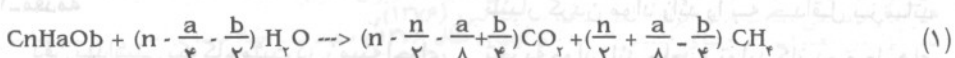
شکل ۱ مهمترین واکنش‌های بی‌هوایی محل دفن بین گروههای میکروبی، مواد غذایی و محصولات میانی را نشان می‌دهد. اصولاً تجزیه بی‌هوایی مواد زائد را می‌توان به سه مرحله تقسیم کرد:

- ۱- هیدرولیز
- ۲- اسیدسازی
- ۳- متان‌سازی

در اولین مرحله، جامدات و ترکیبات آلی پیچیده محلول، توسط عوامل تغییر کننده هیدرولیز شده و به اسیدهای چرب فرار اولیه، الکل‌ها، هیدروژن و دی اکسیدکربن تبدیل می‌شوند. در دومین مرحله، باکتری‌های اسیدساز (Acetogenic) محصولات مرحله اول را به اسید استیک تبدیل می‌کنند و در آخرین مرحله متان به وسیله باکتری‌های تولیدکننده متان (Methanogenic) تولید می‌شود. این گاز توسط دو دسته از باکتری‌ها تولید می‌شود:

- ۱- باکتری‌های اسیداستیک (Acetophilic) با تبدیل اسید استیک به متان و دی اکسیدکربن
- ۲- باکتری‌های هیدروژن دوست (Hydrogenophilic) با تبدیل هیدروژن و دی اکسیدکربن به متان.

فرآیند کلی تبدیل ترکیبات آلی به متان و دی اکسیدکربن را می‌توان به صورت معادله استوکیومتری ۱ نشان داد.



نمی‌باشد. فرآیند هیدرولیز یک فرآیند بسیار مهم در محل می‌باشد زیرا مواد زائد جامد آلی

در شکل ۱ ملاحظه می‌شود که فرآیند واقعی به این سادگی و محدود به معادله ۱

فرآیند محدود کننده نرخ تبدیل مواد در محل دفن می‌باشد. در جدول ۱ تعدادی از واکنشهای محل‌های دفن در تجزیه بی‌هوایی مواد زائد جامد ارائه شده است.

ابتدا به صورت محلول تبدیل می‌شوند. این عمل به کمک فرآیند هیدرولیز به کمک میکروارگانیزم‌ها و آنزیم‌های برون سلولی تولید شده توسط باکتری‌های تخمیرکننده انجام می‌گیرد. در حقیقت فرآیند هیدرولیز یک

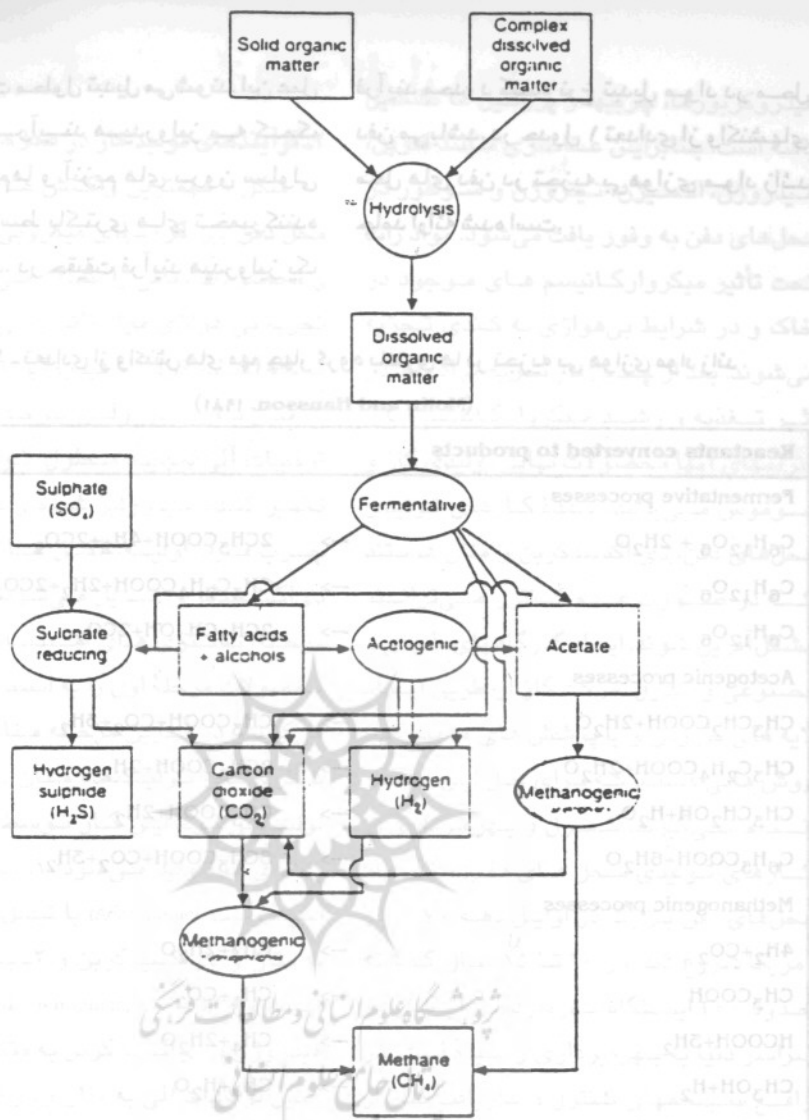
جدول ۱- تعدادی از واکنش‌های مهم چهار گروه باکتری‌های در تجزیه بی‌هوایی مواد زائد

(Molin and Hansson, ۱۹۸۱)

Reactants converted to products	
Fermentative processes	
$C_6H_{12}O_6 + 2H_2O$	$\rightarrow 2CH_3COOH + 4H_2 + 2CO_2$
$C_6H_{12}O_6$	$\rightarrow CH_3C_2H_4COOH + 2H_2 + 2CO_2$
$C_6H_{12}O_6$	$\rightarrow 2CH_3CH_2OH + 2CO_2$
Acetogenic processes	
$CH_3CH_2COOH + 2H_2O$	$\rightarrow CH_3COOH + CO_2 + 3H_2$
$CH_3C_2H_4COOH + 2H_2O$	$\rightarrow 2CH_3COOH + 2H_2$
$CH_3CH_2OH + H_2O$	$\rightarrow CH_3COOH + 2H_2$
$C_6H_5COOH + 6H_2O$	$\rightarrow 3CH_3COOH + CO_2 + 3H_2$
Methanogenic processes	
$4H_2 + CO_2$	$\rightarrow CH_4 + 2H_2O$
$CH_3COOH$	$\rightarrow CH_4 + CO_2$
$HCOOH + 3H_2$	$\rightarrow CH_4 + 2H_2O$
$CH_3OH + H_2$	$\rightarrow CH_4 + H_2O$
Sulphate-reducing processes	
$4H_2 + SO_4^{2-} + H^+$	$\rightarrow HS + 4H_2O$
$CH_3COOH + SO_4^{2-}$	$\rightarrow CO_2 + HS + HCO_3^- + H_2O$
$2CH_3C_2H_4COOH + SO_4^{2-} + H^+$	$\rightarrow 4CH_3COOH + HS$

۶۵  
۷۰  
۷۵  
۸۰  
۸۵  
۹۰  
۹۵  
۱۰۰

۱۰۵  
۱۱۰  
۱۱۵  
۱۲۰  
۱۲۵  
۱۳۰  
۱۳۵  
۱۴۰  
۱۴۵  
۱۵۰  
۱۵۵  
۱۶۰  
۱۶۵  
۱۷۰  
۱۷۵  
۱۸۰  
۱۸۵  
۱۹۰  
۱۹۵  
۲۰۰  
۲۰۵  
۲۱۰  
۲۱۵  
۲۲۰  
۲۲۵  
۲۳۰  
۲۳۵  
۲۴۰  
۲۴۵  
۲۵۰  
۲۵۵  
۲۶۰  
۲۶۵  
۲۷۰  
۲۷۵  
۲۸۰  
۲۸۵  
۲۹۰  
۲۹۵  
۳۰۰  
۳۰۵  
۳۱۰  
۳۱۵  
۳۲۰  
۳۲۵  
۳۳۰  
۳۳۵  
۳۴۰  
۳۴۵  
۳۵۰  
۳۵۵  
۳۶۰  
۳۶۵  
۳۷۰  
۳۷۵  
۳۸۰  
۳۸۵  
۳۹۰  
۳۹۵  
۴۰۰  
۴۰۵  
۴۱۰  
۴۱۵  
۴۲۰  
۴۲۵  
۴۳۰  
۴۳۵  
۴۴۰  
۴۴۵  
۴۵۰  
۴۵۵  
۴۶۰  
۴۶۵  
۴۷۰  
۴۷۵  
۴۸۰  
۴۸۵  
۴۹۰  
۴۹۵  
۵۰۰  
۵۰۵  
۵۱۰  
۵۱۵  
۵۲۰  
۵۲۵  
۵۳۰  
۵۳۵  
۵۴۰  
۵۴۵  
۵۵۰  
۵۵۵  
۵۶۰  
۵۶۵  
۵۷۰  
۵۷۵  
۵۸۰  
۵۸۵  
۵۹۰  
۵۹۵  
۶۰۰  
۶۰۵  
۶۱۰  
۶۱۵  
۶۲۰  
۶۲۵  
۶۳۰  
۶۳۵  
۶۴۰  
۶۴۵  
۶۵۰  
۶۵۵  
۶۶۰  
۶۶۵  
۶۷۰  
۶۷۵  
۶۸۰  
۶۸۵  
۶۹۰  
۶۹۵  
۷۰۰  
۷۰۵  
۷۱۰  
۷۱۵  
۷۲۰  
۷۲۵  
۷۳۰  
۷۳۵  
۷۴۰  
۷۴۵  
۷۵۰  
۷۵۵  
۷۶۰  
۷۶۵  
۷۷۰  
۷۷۵  
۷۸۰  
۷۸۵  
۷۹۰  
۷۹۵  
۸۰۰  
۸۰۵  
۸۱۰  
۸۱۵  
۸۲۰  
۸۲۵  
۸۳۰  
۸۳۵  
۸۴۰  
۸۴۵  
۸۵۰  
۸۵۵  
۸۶۰  
۸۶۵  
۸۷۰  
۸۷۵  
۸۸۰  
۸۸۵  
۸۹۰  
۸۹۵  
۹۰۰  
۹۰۵  
۹۱۰  
۹۱۵  
۹۲۰  
۹۲۵  
۹۳۰  
۹۳۵  
۹۴۰  
۹۴۵  
۹۵۰  
۹۵۵  
۹۶۰  
۹۶۵  
۹۷۰  
۹۷۵  
۹۸۰  
۹۸۵  
۹۹۰  
۹۹۵  
۱۰۰۰



شکل ۱- ارتباط بین مواد غذایی و گروه‌های میکروبی در اکوسیستم تولید گاز متان

(Christensen and Kjeldsen, ۱۹۸۹)

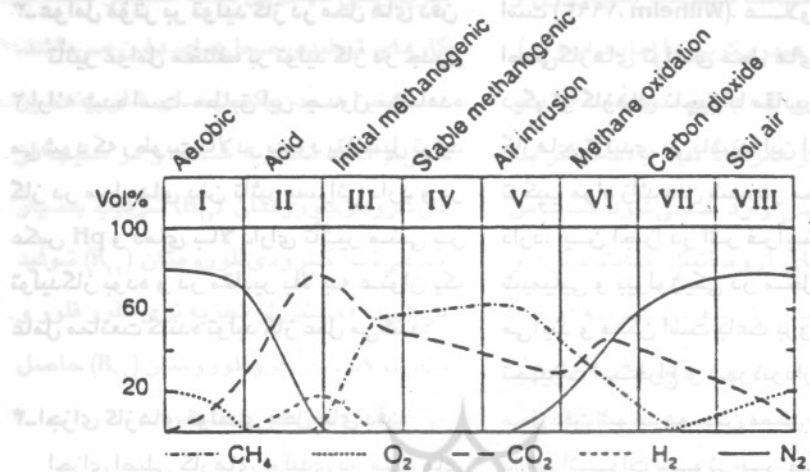
تجزیه مواد زاکد به هشت فاز مجاز تقسیم گردد که این قسمتها ذیلاً آرائه می‌گردد.

فاز ۱: یک فاز کوتاه هوایی همراه با افت اکسیژن و نیتروژن با کمپوست شدن مواد آلی

اثرات کلی فرآیند تجزیه میکروبی بر روی ترکیب گازهای محل دفن برای یک سلول کاملاً ممکن در شکل ۲-۲ تشریح شده است. مطابق این شکل ترکیب گاز می‌تواند مطابق با پیشرفت

میران ن به سبب حضور این گازها.  
فاز III: شروع دومین فاز بی‌هوایی، باکتری‌های متان ساز شروع به تولید  $\text{CH}_4$  می‌کنند و مقدار  $\text{CO}_2$  و  $\text{H}_2$  کاهش می‌یابد.

قابل تجزیه و تبدیل آن‌ها به  $\text{CO}_2$  فاز III: تولید باکتری‌های اسیدساز تحت شرایط بی‌هوایی و تخمیر اسیدهای چرب فرار و تبدیل آنها به  $\text{CO}_2$  و  $\text{H}_2$  همچنین کاهش



شکل ۲- چگونگی فازبندی ترکیب گاز در یک سلول محل دفن

فاز VII: تشکیل متان اکنون قابل چشمپوشی است و هوای داخل شده در حال اکسیدکردن مواد آلی کربنی و تولید  $\text{CO}_2$  است.

فاز IV: پایدار شدن فاز متان سازی، شاخص آن تولید  $50\text{--}60$  درصد  $\text{CH}_4$  و غلظت کم  $\text{H}_2$  می‌باشد.

فاز VIII: نرخ فرآیندها اکنون به نرخی که در خاکهای طبیعی یافت می‌شود، رسیده است و گاز محل دفن شروع به اجتماع و تشکیل هواخاک می‌نماید.

فاز ۷: کاهش تولید متان به علت ورود هوا به قسمتهای خارجی محل دفن و درنهایت به دلیل پائین آمدن نرخ تولید دی‌اکسیدکربن یک افزایش نسبی در مقدار گاز  $\text{CH}_4$  به وجود می‌آید.

ترتیب فازبندی ترکیب گاز که در شکل ۲ آمده است، نشان دهنده طول مدت هر فاز نمی‌باشد زیرا این مسأله به فاکتورهای زیادی از جمله عوامل غیرزیستی (Abiotic) و شرایط محلی نظری ترکیب مواد زائد و روش دفن بستگی دارد. اصولاً بعد از فاز هوایی اولیه

فاز VI: متان در مرکز سلول زائدات به وجود آمده و هنگامی که به آرامی از قسمتهای بیرونی محل دفن در حال خارج شدن است، به  $\text{CO}_2$  اکسید می‌شود، مقدار نیز اکنون به مقدار قابل توجهی رسیده است.

درصدها در طول عمر محل دفن تقریباً ثابت باقی می‌مانند. با افزایش عمر محل های دفن درصد کاز متان افزایش می‌یابد. معمولاً نسبت حجمی متان به دی‌اکسیدکربن بین ۱/۵-۱/۲ است (Wilhelm, ۱۹۹۳). علاوه بر اجزای اصلی گازهای تولیدی محل های دفن یکسری دیگر از گازهای ناقص با مقادیر کم نیز جزء گازهای تولیدی می‌باشند. این اجزای ناقص به ترکیب مواد رائد دفن شده در محل دفن بستگی دارد. این اجزا در اثر فرآیندهای فیزیکی شیمیایی و بیولوژیکی در محل دفن بوجود می‌آیند و ممکن است باعث بروز خسارت در تجهیزات استخراج و بهره‌برداری از گازهای محل دفن شوند. همچنین ممکن است این گازها دارای اثرات سوئی بر محیط زیست و موجودات زنده باشند. اجزای ناقص گازهای تولیدی در محل های دفن را به دو دسته می‌توان تقسیم کرد:

که برای چند روز یا حداقل چند هفته طول می‌کشد، زمان انجام فازهای بعدی ممکن است ماهها، سالها و دهه ها به طول بیانجامد.

**۳- عوامل مؤثر بر تولید گاز در محل های دفن**  
تأثیر عوامل مختلف بر تولید گاز در جدول ۲ ارائه شده است. مطابق این جدول مشاهده می‌شود که رطوبت بالا در بهبود پتانسیل تولید گاز در محل های دفن تأثیر بسزائی دارد و بر عکس pH و دمای بالا دارای تأثیر منفی بر تولید گاز بوده و در مقادیر بالا به عنوان یک عامل ممانعت کننده تولید گاز عمل می‌کنند.

#### ۴- اجزای گازهای تولیدی محل های دفن

اجزای اصلی گازهای تولیدی در محل های دفن در مدت زمان کوتاهی پس از دفن (چند هفته یا چند ماه) عبارتست از متان با ۵۵±۵٪ درصد و دی‌اکسید کربن با ۴۵±۵٪ درصد. این

جدول ۲- تأثیر عوامل مختلف بر تولید گاز در محل های دفن

Variable	Gas enhancement potential			Gas inhibition potential		
	Low	Medium	High	Low	Medium	High
Composition		+				
Density	+					
Particle size	+					
Temperature		+				
pH		+				
Nutrients	+					
Microbes		+				
Moisture			+			
Oxygen						
Hydrogen	+					
Sulfate						
Toxics						
Metals						

مخلوطی از دیکلرواتیلن تولید می‌شود که در نهایت از آن کلریدوینیل سرطان‌زا تولید می‌شود. علاوه بر بنزن و متیل مرکاپتان، کلریدوینیل مهمترین ماده منتشر شده از کازهای تولیدی محلهای دفن می‌باشد.

همچنین هیدروکربن‌های فلورینه نیز می‌توانند تجزیه شده و در نتیجه از دیکلرودی‌فلورومتان ( $R_{12}$ ) ترکیب بسیار سمتی‌تر کلرودی‌فلورومتان ( $R_{22}$ ) تولید می‌شود. همچنین از تجزیه تری‌کلرو‌فلور و متان ترکیب دی‌کلرو‌فلورومتان ( $R_{11}$ ) حاصل می‌شود که سرطان‌زا است.

##### ۵- تخمین میزان گازهای تولیدی از محلهای دفن

واکنش کلی فرآیند تشکیل متان از مواد آلی به صورت معادله ۲ بیان می‌شود:

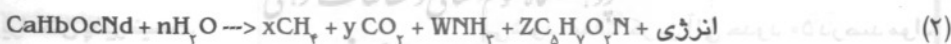
(توده سلولی زنده) تبدیل می‌شود می‌توان برای ارزیابی عملی تولید کاز از تبدیل سلولی مواد آلی چشم‌پوشی نمائیم در این صورت معادله ۲ به معادله ۳ تغییر می‌یابد.

۱- اجزای ناچیزی که در حین تجزیه بی‌هوایی در محل دفن تولید می‌شود، شامل ترکیبات اکسیژن‌دار (مانند اتانول و متانول)، ترکیبات کوکرددار (مانند سولفید هیدروژن و مرکاپتانها) و هیدروکربن‌ها (مانند لیمونن)

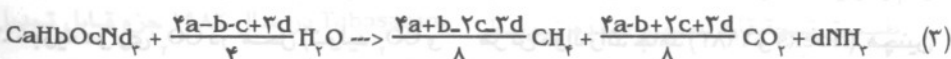
۲- اجزای ناچیزی که دارای منشأ فعالیتهای انسانی بوده و همراه با مواد رائد دیگر به محل دفن وارد می‌شود شامل هیدروکربن‌های آروماتیک (مانند بنزن و تولوئن) و هیدروکربن‌های کلرینه (مانند فرئون‌ها). اهمیت هیدروکربن‌های کلرینه از نظر ریست‌محیطی در محصولات سمی ناشی از تجزیه بیوشیمیایی آنها می‌باشد.

در تجزیه بیوشیمیایی این مواد عمل جایگزینی هالوژن با هیدروژن انجام

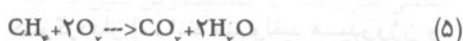
می‌شود. در این مکانیزم در اولین مرحله تتراکلرواتیلن به تری‌کلرواتیلن که سمتی‌تر است، تبدیل می‌شود. در دومین مرحله



مقدار انرژی حاصل شده از این واکنش به چند قسمت انرژی آزاد متان، انرژی برای سنتز باکتری‌ها و آنتالپی واکنش تقسیم می‌گردد. از آنجا که درصد کمی از مواد آلی به بیومس



برای اکسیداسیون کامل آن ماده آلی) نیز انجام شود. مطابق معادله ۵ یک مول متان برای اکسیداسیون کامل به ۲ مول اکسیژن نیاز دارد.



طبق این معادله به ازای هر ۲ مول اکسیژن مصرفی برای اکسیداسیون کامل مواد آلی، ۱ مول گاز متان حاصل می شود که براساس معادله وزنی آن خواهیم داشت:

$$(\text{۶}) \quad \text{لیتر گاز متان} = \frac{\text{گرم گاز متان}}{0.25} = \frac{\text{گرم اکسیژن}}{0.25} \times \frac{\text{مصرف اکسیژن}}{\text{ COD}}$$

عدم تولید  $\text{CH}_4$  بنا بر دلایل فوق در محاسبات برای تخمین گاز  $\text{CO}_2$  تولیدی در محلهای دفن می باشیست آن را با توجه به نسبت  $\frac{\text{CH}_4}{\text{CO}_2}$  تعیین کنیم. معمولاً این نسبت  $0.05-0.06$  در نظر گرفته می شود. عمدتاً کربن آلی حدود  $50\%$  درصد مواد آلی خشک را تشکیل می دهد و از این مقدار  $50\%$  درصد آن قابل تجزیه بیولوژیکی است. برخی از ارقامی که برای تخمین کربن آلی مواد زائد جامد شهری توسط محققین ارائه شده است عبارتست از  $200$  کیلوگرم در هر تن مواد زائد جامد ( $1982$  و  $Tabasaran$ ) و  $250$  کیلوگرم در هر تن مواد زائد جامد ( $1983$  و Hoeks). هچنین

مطابق معادله ۳ به ازای هر یک مول کربن آلی یک مول گاز تولید می شود. از آنجا که یک مول گاز در صفر درجه سانتیگراد  $22/4$  لیتر حجم اشغال می کند، بنابراین یک مول کربن آلی  $22/4$  لیتر گاز تولید می نماید. اگر این موازنۀ را به صورت وزنی تبدیل نمائیم معادله ۴ حاصل می شود.

$$(4) \quad \text{لیتر گاز} = \frac{1}{0.25} (\text{CH}_4 + \text{CO}_2) = 1/\text{گرم کربن ماده آلی} \times \text{تخمین میزان گاز تولیدی از تجزیه مواد آلی می تواند از طریق COD (مصرف اکسیژن$$

$$(\text{۶}) \quad \text{لیتر گاز متان} = \frac{\text{گرم گاز متان}}{0.25} = \frac{\text{گرم اکسیژن}}{0.25} \times \frac{\text{مصرف اکسیژن}}{\text{ COD}}$$

ولی طبق روش فوق نمی توانیم میزان دی اکسیدکربن را تخمین بزنیم و لازم است که نسبت متان به دی اکسیدکربن را هم به صورت تجربی داشته باشیم. اصولاً تخمین میزان دقیق گاز  $\text{CO}_2$  تولیدی در محلهای دفن به دلایل زیرامکان پذیر نیست.

- ۱- اتحلال  $\text{CO}_2$  در شیرابه تولیدی در محلهای دفن (متقابل  $\text{CH}_4$  فقط به مقدار کمی در شیرابه تولیدی حل می شود).
- ۲- اتحلال تعادلی  $\text{CO}_2$  به صورت یونهای  $\text{HCO}_3^-$  و  $\text{CO}_3^{2-}$  و رسوب کردن آن به صورت کربنات
- ۳- تجزیه هوایی  $\text{CO}_2$  در محل (تولید  $\text{CO}_2$  و

فرمول زیر نیز جهت تعیین مقدار کربن آلی قابل تجزیه بیولوژیکی در سال ۱۹۸۸ توسط Andersottta and Cossu پیشنهاد شده است:

$$(OC_B)_I = (OC_I)_I (f_B) (1 - u_I) P_I \quad (V)$$

مقدار رطوبت جزء آام در مواد زائد

$$\frac{\text{آب}}{\text{جزء آام مواد زائد مرطوب}} \quad (\text{Kg})$$

وزن مرطوب جزء آام در مواد زائد

$$\frac{\text{وزن جزء آام}}{\text{وزن کل مواد زائد}} \quad (\text{Kg})$$

در جدول ۳ این مقادیر برای اجزاء مختلف

مواد زائد محلهای دفن آورده شده است.

که در آن:  $(OC_B)_I$ ، میزان کربن آلی قابل تجزیه بیولوژیکی امین جزء مواد زائد مرطوب (کربن قابل تجزیه Kg) می باشد و  $(OC_I)_I$ ، مقدار کربن آلی در امین جزء مواد زائد خشک (کربن آلی Kg) جزء آام خشک Kg می باشد.

جدول ۳- مقدار رطوبت ( $U_I$ )، مقدار کربن آلی ( $OC_I$ ) و جزء آلی قابل تجزیه بیولوژیکی ( $f_B$ )

برای اجزاء مختلف مواد زائد (Androttola and Cossa ۱۹۸۸ و Tabasaram ۱۹۸۲)

Waste component	$u_I$ (kg H <sub>2</sub> O/kg wet component)	$OC_I$ (kg C/kg dry component)	$(f_B)_I$ (kg biodeg.C/kg C)
Food waste	0.6	0.48	0.8
Yard waste	0.5	0.48	0.7
Paper and cardboard	0.08	0.44	0.5
Plastics and rubber	0.02	0.7	0.0
Textiles	0.1	0.55	0.2
Wood	0.2	0.5	0.5
Glass	0.03	0.0	0.0
Metals	0.03	0.0	0.0

طبق تحقیقات انجام شده تبدیل Tabasaram در سال ۱۹۸۲ جزء قابل تجزیه

کربن مواد زائد به کاز در محلهای دفن به دمای داخل این محلها بستگی دارد. این وابستگی به صورت معادله ۸ بیان شده است.

$$(OC_b) = (OC_i) \cdot (1 - 0.28T + 0.014T^2) \quad (8)$$

که در آن  $T$  دمای داخل محل دفن بر حسب درجه سانتیگراد می‌باشد.

در تخمین میزان کربن آلی قابل تجزیه بیولوژیکی می‌بایستی توجه داشت که مقدار کمی از این مواد توسط شیرابه از محل دفن خارج می‌شود به خصوص در فاز اسیدی که تولید شیرابه آن بسیار بالا است، ولذا میزان کربن خروجی از میزان اولیه کربن آلی قابل تجزیه کم می‌گردد.

با توجه به پایه‌های تئوریکی مشترک مدل‌های تولید کاز و با ترکیب معادلات ۴ و ۷ می‌توان فرمول میزان کاز تولیدی از محل دفن را به صورت معادله ۹ نمایش داد.

$$Y_{LFG} = \frac{1}{1 - u_i} \cdot P_i \cdot (OC_i) \cdot (f_b) \cdot (1 - u_i) \cdot P_i \quad (9)$$

که در آن  $Y_{LFG}$  درصد کازهای تولیدی بر حسب لیتر به ازای هر کیلوگرم ماده زائد ( $\frac{\text{lit gas}}{\text{Kg MWS}}$ ) یا متربمکعب به ازای هر تن ماده زائد می‌باشد.

برای نمونه با توجه به فرمول فوق و با استفاده از مشخصات آنالیز کیفی مواد زائد جامد شهری تهران، میزان کاز تولیدی از مواد زائد جامد شهری این شهر در محل دفن ۲۶۰ متربمکعب به ازای هر تن ماده زائد بدست

می‌آید.

عدهل سازی انتشار گاز از محلهای دفن در حال حاضر نیاز مبرمی به مدل‌های تولید کاز محل دفن که قادر به پیش‌بینی نرخ محصول تولیدی بیوگاز باشند، وجود دارد. این مدل‌های توانند هم توسط طراحان و هم توسط بهره‌برداران محلهای دفن مورد استفاده قرار گیرند. مدل‌های تولید کاز از محلهای دفن از سال ۱۹۷۰ به وجود آمده است و تاکنون تحقیقات زیادی در این زمینه انجام شده است. مدل‌های تولید کاز در محلهای دفن را می‌توان به چهار دسته مختلف تقسیم‌بندی کرد: ۱- مدل‌های تجربی، ۲- مدل‌های استوکیومتری، ۳- مدل‌های بیوشیمیایی و ۴- مدل‌های اکولوژیکی (Anderotola and Cossu ۱۹۸۸).

مدل‌های تجربی شامل سیستم جعبه سیاه می‌باشد. این مدل‌ها دارای داده‌های ورودی و خروجی مشخصی هستند. در این مدل‌ها یکتابع ریاضی وجود دارد که رابطه بین ورودی و خروجی را براساس یک سری زمانی داده‌های تجربی، برقرار می‌کند. مدل‌های استوکیومتری بر اساس واکنش‌های استوکیومتری عمومی است که در آن مواد زائد با یک فرمول تجربی نمایش داده می‌شود. عموماً این مدل‌ها برای بدست آوردن ماکزیمم پتانسیل تولید بیوگاز

کاربرد دارد. مدل‌های بیوشیمیایی بر این اساس است که قابلیت تجزیه بیولوژیکی مواد زائد، باشد.

همچنین این مدل می‌تواند به صورت یک مدل اکولوژیک باشد که دینامیک جمعیت میکروبی و مواد غذایی در محل دفن را توصیف می‌کند.

۳- زیر مدل نفوذ (دیفیوژن): این زیر مدل به صورت دینامیکی است و توصیف کننده تغییرات زمان و مکان فشار و ترکیب گاز در محل دفن می‌باشد. از این زیر مدل می‌توان نرخ انتشار و میزان تأثیر سیستم استخراج گازهای تولیدی محل‌های دفن را بدست آورد.

مشکل مدلسازی تولید گاز در محل‌های دفن تنها مربوط به پیش‌بینی مقدار گاز از محل دفن نیست بلکه نرخ و طول مدت تولید گاز نیز جزء مشکلات مدلسازی است. اصولاً معادله عمومی که بر تولید گاز حاکم است می‌تواند به صورت معادله ۱۰ بیان شود.

$$\frac{dc}{dt} = f(t, c^n) \quad (10)$$

که در آن  $t$  زمان و  $c$  مقدار متان یا مقدار ماده آلی قابل تجزیه بیولوژیکی است. این معادله میان نرخ تجزیه مواد غذایی و نرخ تولید گاز است. با استفاده از معادله فوق می‌توان میزان گاز تولیدی در محل دفن را برای یک لایه بدست آورد. مقدار گاز تولیدی نهایی از جمع گازهای تولیدی تمام لایه‌ها به صورت پیوسته بدست می‌آید. توان  $n$  در این معادله یک متغیر

می‌باشد. این مدل‌ها رابطه اجزای مختلف را مختار مواد زائد را در محل دفن مورد توجه قرار می‌دهد. مدل‌های اکولوژیکی شامل یک اکوسیستم است که در آن فرآیند برقرار

می‌باشد. این مدل‌ها رابطه اجزای مختلف را توصیف می‌کند. اصولاً این مدل‌ها، مدل‌های بسیار پیچیده‌ای هستند.

از نظر تئوری یک مدل تولید گاز باید شامل سه زیر مدل باشد: ۱- زیر مدل استوکیومتری، ۲- زیر مدل سینتیکی و ۳- زیر مدل نفوذ (دیفیوژن)

۱- زیر مدل استوکیومتری: این زیر مدل، مقدار ماکرویم تئوریکی تولید گاز در اثر تجزیه مواد زائد آلتی را به ما ارائه می‌کند و به صورت استاتیک می‌باشد یعنی یک رابطه آنی بین ورودی و خروجی مدل وجود دارد.

همچنین حالت سیستم در این مدل‌ها پایدار (ایستا) در نظر گرفته می‌شود.

۲- زیر مدل سینتیکی: این زیر مدل به صورت دینامیکی می‌باشد و قادر به ارزیابی نرخ تولید گاز در محل دفن می‌باشد. این زیر مدل می‌تواند هم به صورت یک معادله تجربی که بر اساس معادلات کم و بیش ساده به دست آمده باشد و هم به صورت یک مدل احتمالی به صورت یک سری معادلات

مستقل است که بیانگر درجه واکنش از نظر سینتیکی می‌باشد. درجه واکنش صفر به این معنا است که تغییر اندکی در مقدار مواد آلتی سبب تأثیر در نرخ تجزیه مواد غذایی یا تولید کاز نمی‌شود. در بسیاری از محل‌های دفن برای مدلسازی کازهای تولیدی در بلند مدت از واکنش‌های درجه صفر استفاده می‌کنند، زیرا در بلند مدت نرخ تولید متان مستقل از مقدار مواد غذایی باقیمانده است و عوامل محدود کننده در این حالت شامل رطوبت، مواد مغذی و ... می‌باشد (Barlatz and Ham, ۱۹۸۹).

اگرچه روشن شده است که عوامل بسیاری چون رطوبت، دما، میزان دستررسی به مواد مغذی و وجود میکروارگانیزم‌های ضروری در تولید کاز نقش دارند ولی اغلب محققین عقیده دارند که واکنش‌های درجه اول با داشتن مواد غذایی به میزان مناسب در محلهای دفن رخ می‌دهد. آنها این نظریه خود را با بیان این واقعیت که تولید کاز به تدریج در زمان‌های طولانی کاهش می‌پذیرد، تأیید می‌کنند. ذیلاً بعضی از مهمترین مدل‌های شبیه سازی شده کازهای تولیدی محل‌های دفن آورده می‌شود.

#### مدل Scholl Canyon

این مدل به صورت یک مرحله‌ای می‌باشد. در این مدل فرض بر این است که تولید کاز در محل دفن پس از گذشتن از زمان تأخیر خود به بیشترین میزان خود رسیده است و پس از آن پیوسته کاهش پیدا می‌کند. معادله حاکم بر این مدل توسط معادله ۱۲ نشان داده می‌شود.

$$\frac{dL}{dt} = Kt \quad (12)$$

این مدل به صورت یک مدل دو مرحله‌ای که در آن حجم کاز تولیدی در زمان  $t$  ثابت می‌باشد و درجه واکنش آن از نوع درجه اول

نرخ تولید کاز می‌باشد. منحنی تولید کاز در این

می‌باشد. این مدل با توجه به تجارب کاربردی استفاده از لجن بی‌هوایی فاضلاب برای تولید کاز بدست آمده است و بر پایه مقدار کربن آلی قابل تجزیه بیولوژیکی استوار می‌باشد. در این مدل فرض شده است که مواد زائد دارای ۲۶ درصد وزنی کربن می‌باشد که ۳۱ درصد آن را کربن قابل تجزیه سریع و ۶۶ درصد آن را کربن قابل تجزیه کند تشکیل می‌دهد. به این ترتیب مواد زائد قابل تجزیه بیولوژیکی به دو گروه تقسیم می‌شود و برای هر طبقه یک نیمه عمر تعريف می‌شود. کل زمان تولید کاز نیز توسط معادله ۱۱ تعريف می‌شود.

$$(11) \quad t = \frac{25}{\frac{1}{K_1} + \frac{1}{K_2}}$$

مطابق این معادله ماکزیمم نرخ تولید کاز در این مدل در زمان نیمه عمر بدست می‌آید. منحنی تولید کاز در این مدل در شکل (a) آورده شده است.

#### مدل Sheldon - Arleta

مدل در شکل (B) آورده شده است. منحنی تولید گاز این مدل در شکل (C) آورده شده است.

بسیاری از افراد بر این عقیده‌اند که محل‌های شبیه سازی شده تولید گاز قابل اعتماد نیستند. این افراد معتقدند که این مدل‌ها قادر به کالیبره کردن داده‌ها برای دوره‌های طولانی مدت نمی‌باشد. در پاسخ باید گفت که واقعیت این است که یکسری عوامل نامشخص در این زمینه باعث بروز چنین مسائی می‌شود که از آن جمله می‌توان به نداشتن اطلاعات و داده‌های درست در مورد تاریخچه محل دفن، ترکیب مواد زائد دفن شده، رطوبت در محل دفن، نوع پوشش‌های استفاده شده و انجام عملیات‌های بهره‌برداری خاص اشاره کرد.

به طور کلی می‌توان گفت فرآیند رخ داده شده در محل دفن همیشه تحت تأثیر یکسری عوامل نامشخص می‌باشد. این عوامل کنترل‌کننده آنچه در محل دفن رخ می‌دهد، می‌باشند. به همین دلیل بهتر است خروجی و نتایج این مدل‌ها بجای ذکر مقادیر قطعی همیشه به صورت محدوده‌های احتمالی بیان شود. از آن‌جا که هزینه مدلسازی به مرتب از هزینه انجام آزمایشات در محل کمتر است، ضرورت دارد جهت استفاده بهتر از این مدل‌ها و انطباق بیشتر نتایج آنها با واقعیات منطقه فعلیت‌های زیر انجام شود.

۱- افزایش دانش در زمینه فرآیندهای ناشناخته تولید گاز در محل‌های دفن، ۲- پیشرفت و توسعه روش‌های اندازه‌گیری گازهای تولیدی در محل‌های دفن و ۳- کاربرد صحیح مدل‌های

تولید گاز در محل‌های دفن

این مدل یک مدل کاملاً شناخته شده در محل‌های دفن می‌باشد و ابزار بسیار مفیدی در تخمین پتانسیل گازهای تولیدی در محل‌های دفن می‌باشد. داده‌های اصلی ورودی این مدل شامل مقدار مواد زائد و ترکیبات آن، میزان رطوبت در محل دفن، زمان تأخیر و زمان تبدیل گاز می‌باشد. در این مدل فرض بر این است که مواد زائد از نظر تجزیه پذیری به سه دسته تقسیم می‌شود: ۱- تجزیه پذیر با سرعت بالا، ۲- تجزیه پذیر با سرعت متوسط و ۳- تجزیه پذیر به آرامی. این مدل برای هر یک از این سه دسته به صورت جداگانه میزان گاز تولیدی را محاسبه می‌کند و در نهایت برای ارزیابی گاز نهایی تولیدی از محل، این مقادیر را با هم جمع می‌کند. میزان گاز تولیدی برای هر جزء در این مدل از رابطه زیر بدست می‌آید:

$$C_i = K' W_i P_i (1 - M_i) V_i E_i \quad (13)$$

که در آن:

$C_i$ : حجم گاز مatan تولیدی از جزء  $i$  بر حسب لیتر

$W_i$ : وزن کل مواد زائد مرطوب بر حسب  $Kg$

$P_i$ : درصدی از جزء  $i$  در کل مواد زائد

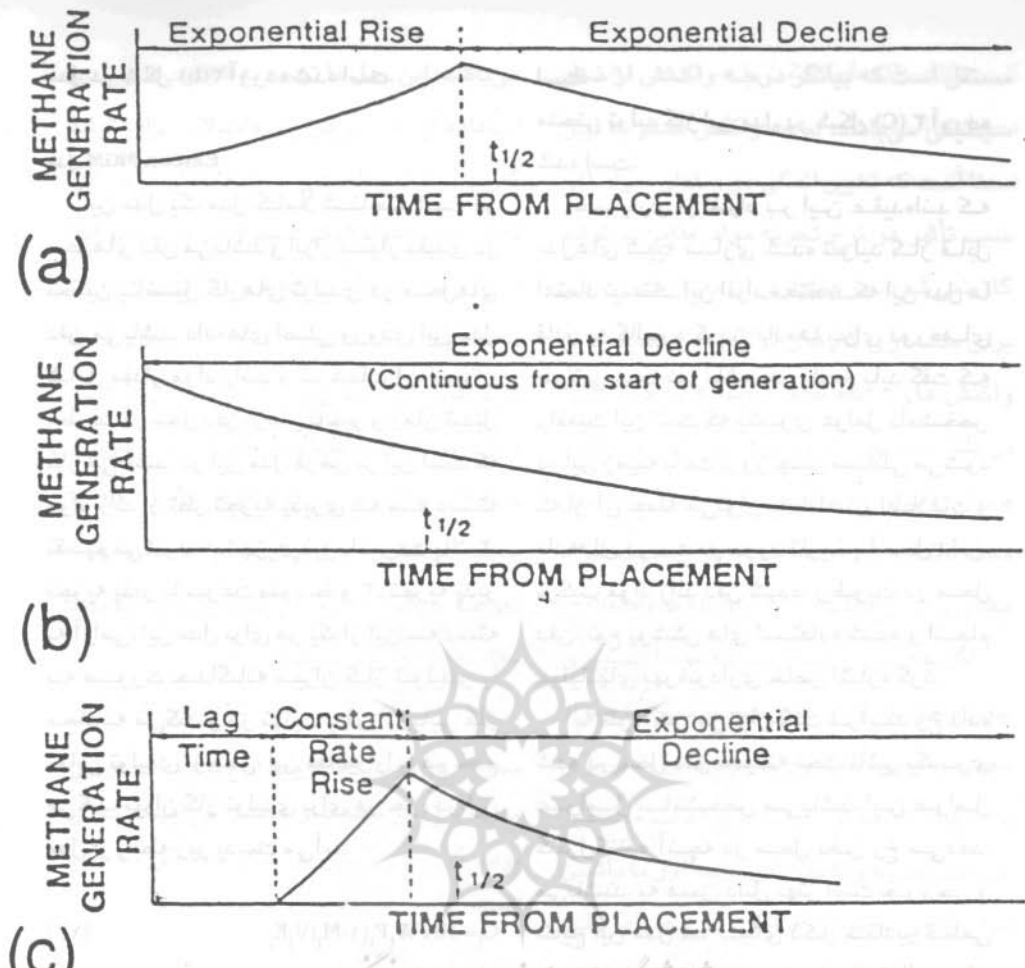
$M_i$ : میزان رطوبت جزء  $i$  در محل دفن

$V_i$ : میزان جامدات فرار جزئی جزء  $i$

$E_i$ : جزء قابل تجزیه بیولوژیکی جامدات فرار

خشک در جزء  $i$

$$\frac{Kg COD}{Kg Lit/s} \cdot \frac{Lit CH_4}{K' = 1/5} \quad (14)$$



شکل ۳- منحنی های تولید گاز در مدل های Scholl Canyon(b)، Sheldon- Arleta(a) و Paccey and Augenstein، 1991، EMCON MGM(c) و

دی اکسید کربن در گاز تولیدی از محل دفن پتانسیل تولید متان تا سال ۱۴۰۰ برای این محل محاسبه شده است (جدول ۴). ستون آخر این جدول پتانسیل کاهش گازهای گلخانه ای را در صورت استحصال و بهره برداری کامل گازها از این محل، نشان می دهد.

۱- انتشار متان در محل دفن کهربیزک با استفاده از مدل LANDGEM محل دفن کهربیزک از سال ۱۳۴۲ برای دفن مواد زائد شهر تهران مورد استفاده قرار گرفته است. با توجه به آنالیز فیزیکی زباله در شهر تهران و فرض ۵۰ درصد متان و ۵۰ درصد

## جدول ۴- تولید متان و پتانسیل کاهش گازهای گلخانه‌ای در محل دفن کهربایک

با استفاده از مدل LANDGEM

سال	تولید متان مترمکعب در سال	پتانسیل کاهش گازهای گلخانه‌ای مترمکعب در سال براساس $\text{CO}_2$
۱۳۷۸	$۲/۸۲۱ \times ۱۰^۸$	$۱۳/۱۰۵ \times ۱۰^۸$
۱۳۸۰	$۲/۹۸۰ \times ۱۰^۸$	$۱۳/۹۰۰ \times ۱۰^۸$
۱۳۸۵	$۲/۲۶۱ \times ۱۰^۸$	$۱۶/۲۰۵ \times ۱۰^۸$
۱۳۹۰	$۲/۴۲۲ \times ۱۰^۸$	$۱۷/۱۶۰ \times ۱۰^۸$
۱۳۹۵	$۲/۵۳۶ \times ۱۰^۸$	$۱۷/۸۸۰ \times ۱۰^۸$

که در آن  $f_D$  شار دیفیوژن ( $\text{gm}^{-۲}\text{s}^{-۱}$ )  
قسمتی از تخلخل خاک که توسط گاز پر شده  
است (بدون بعد)،  $D$  ضریب دیفیوژن در خاک  
 $\frac{\partial C}{\partial x}$  و  $\text{گرادیان غلظت}$  ( $\text{gm}^{-۲}$ ) می‌باشد.  
در این فرمول  $D$  از معادله ۱۵ بدست می‌آید.

$$D = D_0 \times \Gamma \quad (15)$$

که در آن  $D_0$  ضریب دیفیوژن در هوا در دمای  
داده شده و  $\Gamma$  ضریب چولگی می‌باشد که  
توسط رابطه ۱۶ قابل محاسبه است.

$$\Gamma = \frac{E \frac{\partial}{\partial x}}{E^{(7/12)}} \quad (16)$$

که در آن  $E$  میزان کل تخلخل خاک می‌باشد.  
قانون فیک برای دیفیوژن از میان یک محیط  
غیر اشباع زمانی برقرار است که فضای آزاد  
بین مولکول‌ها از اندازه تخلخل آنها کوچک‌تر  
باشد به عبارت دیگر مولکول‌های گاز در داخل  
فضای متخالخل با هم برخورد کنند، زیرا در غیر  
این صورت شار دیفیوژن توسط برخورد با  
دیواره‌های خلل و فرج انجام می‌شود

## ۷- مهاجرت گازهای تولیدی محل‌های دفن

ابعاد مختلف تأثیرات مهاجرت گاز از  
 محل‌های دفن در شکل ۴ نمایش داده شده است.  
تحقیقات بسیاری پیرامون مهاجرت گاز از  
 محل‌های دفن توسط فرآیندهای نفوذ و حرکت  
افقی به عنوان فرآیندهای مهم انجام شده است  
(Ghabaei and Redwell ۱۹۸۱). شار  
دیفیوژنی به دلیل اختلاف غلظت گاز در داخل  
محیط متخالخل به علت حرکت براونی  
مولکول‌های گاز به وجود می‌آید.  
شار دیفیوژنی عبارت از میزان کاری است که  
در واحد زمان از واحد سطح جسم عبور می‌کند  
و توسط قانون فیک (Fick) بیان و توصیف  
می‌شود (معادله ۱۴).

$$f_D = -E D \frac{\partial C}{\partial x} \quad (14)$$

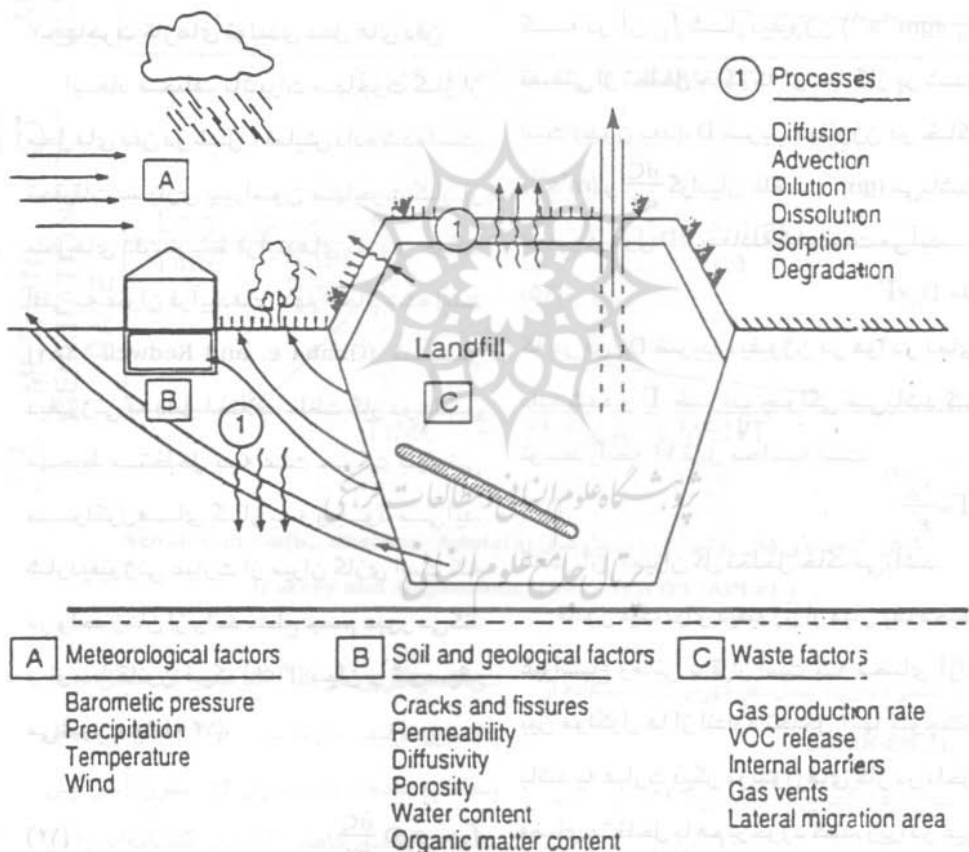
معادله ۱۷ بیان می‌شود.

(Ahlkchhead and Willians, ۱۹۹۱)

$$f_A = -c \frac{K_a}{\mu} \frac{\partial P}{\partial X} \quad (17)$$

که در آن:  $f_A$  شار حرکت افقی ( $\text{m s}^{-2}$ ),  $(\text{gm}^{-2} \text{s}^{-1})$ , غلظت گاز ( $\text{gm}^{-3}$ ),  $K_a$  قابلیت نفوذ گاز در خاک ( $\text{m}^2 \text{ s}^{-1}$ ),  $\mu$  ویسکوزیته گاز ( $\text{Ns m}^{-2}$ ) و  $\frac{\partial P}{\partial X}$  گرادیان شار گاز ( $\text{Nm}^{-2}$ ) یا ( $\text{Pam}^{-1}$ ) می‌باشد.  $K_a$  در این معادله نیز توسط معادله ۱۸ قابل محاسبه است.

آزاد بین مولکولی برای گاز متان در شار یک اتمسفر حدود ۵۰۰ آنکستروم می‌باشد. از آنجا تخلخل خاکها غالباً بسیار کم و در حد آنکستروم می‌باشد لذا در حالت کلی قانون فیک صادق است. شار حرکت افقی گاز در یک محیط متخلخل در اثر تغییرات گرادیان فشار به وجود می‌آید و توسط قانون دارسی به صورت



شکل ۴- ابعاد مختلف تأثیرات مهاجرت گاز از محل های دفن

$$K_0 = K \frac{\varepsilon_0}{\varepsilon} \quad (18)$$

که در آن  $K$  قابلیت نفوذ هیدرولیکی ( $m^{-2}$ )،  $\varepsilon_0$

### ۹-نتیجه گیری

حاصل تخلخل مواد را در محل های دفن در شرایط بی‌هوایی و تحت تأثیر

میکروارگانیسم های موجود در خاک، گاز و

هوموس می‌باشد. قسمت عمده گازهای تولیدی

محل های دفن متان و دی‌اکسیدکربن می‌باشد

که در صورت عدم کنترل و بازیافت می‌تواند

مشکل آفرین شود. ایجاد گذرگاههای طبیعی و

صنایعی و کنترل حرکت گاز از راههای حل

این مشکل است. با کاهش منابع انرژی و

گسترش و توسعه محل های دفن در جهان

فعالیتهای مربوط به کنترل و بازیافت گاز در

محل های دفن روز به روز در حال گسترش

است. از دیدگاه زیست محیطی کنترل و بازیافت

گاز نه تنها از جهت تولید انرژی بلکه به لحاظ

کنترل گازهای کلخانه‌ای و سرطان‌زا نیز حائز

اهمیت است. تجارت عملی بیانگر این موضوع

است که گازهای تولیدی محل های دفن

می‌توانند به صورت موفقی با سایر منابع انرژی

چایگزین گردد. بنابراین ضرورت دارد به

مسئله کنترل و بازیافت گاز از محل های دفن

توجه بیشتری مبذول گردد.

### ۸-انتقال و استخراج و بهره‌برداری از گازهای

#### تولیدی محل های دفن

انتقال و استخراج گازهای تولیدی محل های

دفن از طریق چاههای استخراج صورت

می‌گیرد. عمق این چاهها عمدها تا نزدیک به ۳

متري انتهای محل دفن می‌باشد. عمق این

چاهها به ترازن، شبیب کناری و نوع پوشش به

کار رفته در محل دفن بستگی دارد. اگر محل

دفن دارای پوشش خوب و غیرقابل نفوذی

باشد، می‌توان چاههایی با عمق کم حفر نمود

زیرا قادر به استفاده از خلاء نسبی بالایی محل

دفن برای خارج کردن گاز هستیم.

عمدها روشهای بهره‌برداری از گازهای

تولیدی محل های دفن شامل استفاده مستقیم،

تولید برق، توربین های گازی و پیل های

سوختی است. روشهای استفاده مستقیم از

گازهای تولیدی محل های دفن شامل استفاده

از آن به عنوان سوخت بویلر، گرم کردن و خنک

کردن محل ها، گرمادهی برای صنایع و کاربرد

- 1- Cheristensen, T.H, Cossu, R. and Stegmann, R. (1996). Landfilling of Waste: biogas. E & FN SPON.
- 2- Jiunn-Jui, L., Yu-You, L. and Tatsuya, N. (1998). Mathematical Model Production from Landfill Bioreactor. J. ENVIRO engineering, 8, 730-736.
- 3- Mustasem, E.F, Angelos, N.F and James, O.L. (1997). Gas Simulation Models for Solid Waste Landfilling. Environmental Science and Technology, 27, 237-283.
- 4- EPA (1996). Municipal Solid Waste Landfilling. EPA - 453/R-96-004
- 5- EPA (1997). Complication of Air Pollution Emission Factors. AP-42, 5th ed.